

Fig. 1A

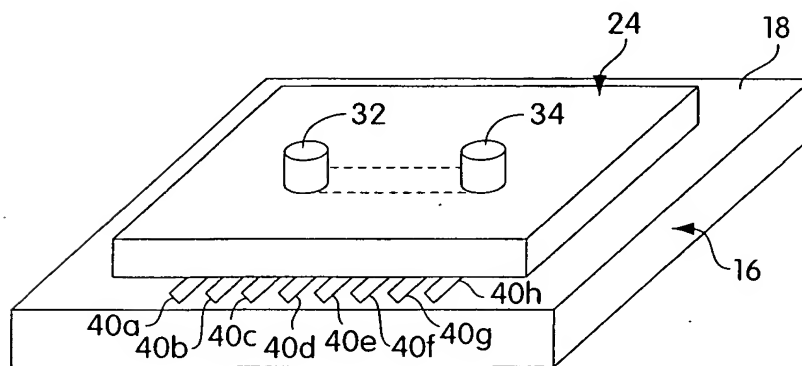


Fig. 1B

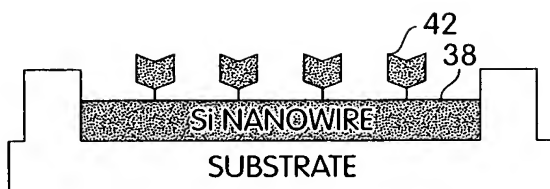


Fig. 2A

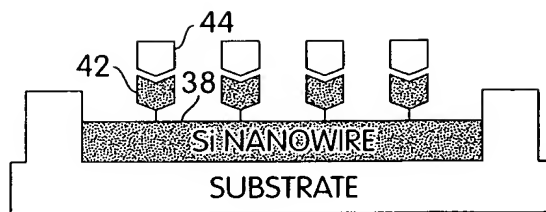


Fig. 2B

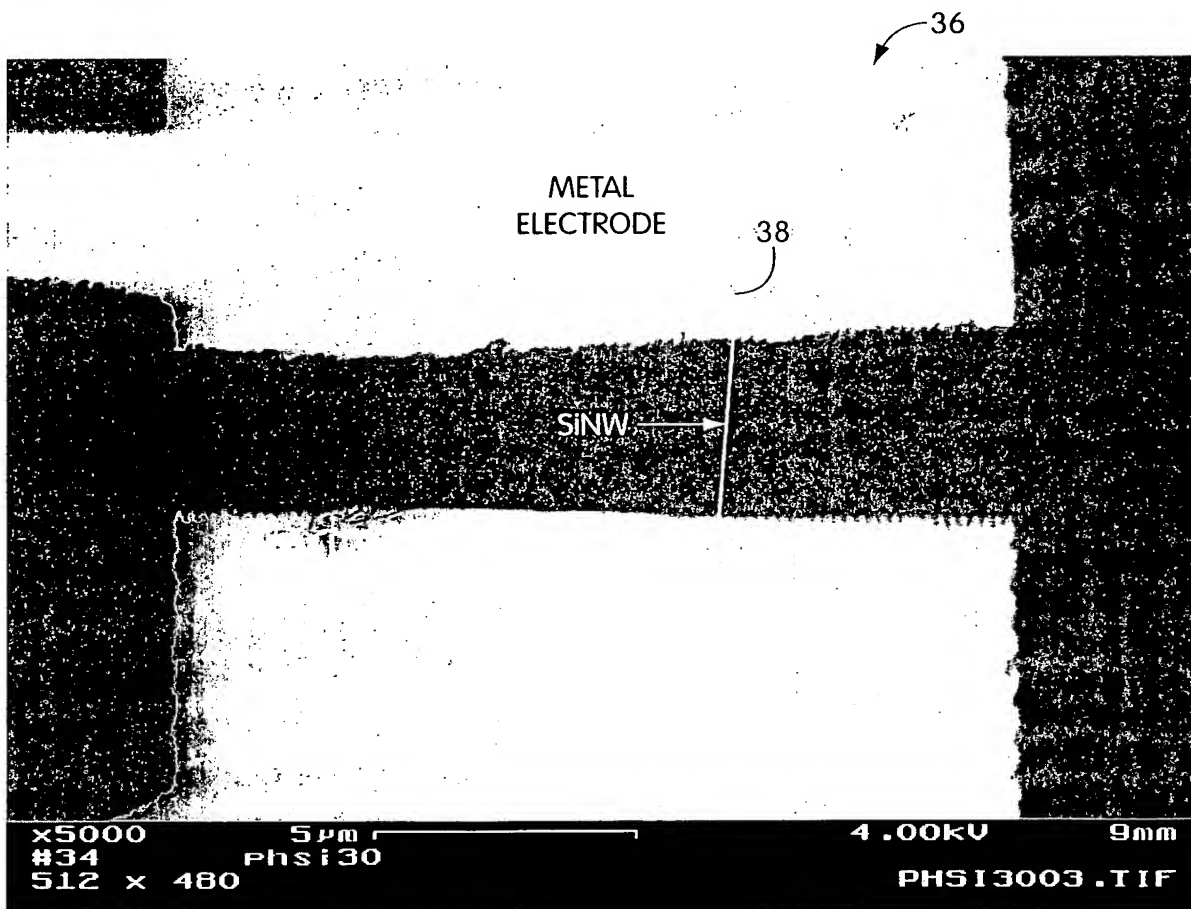


Fig. 3A



NANOSENSORS
Charles M. Lieber et al.
Serial No.: 10/020004
Docket No.: H0498.70164US00
3/17

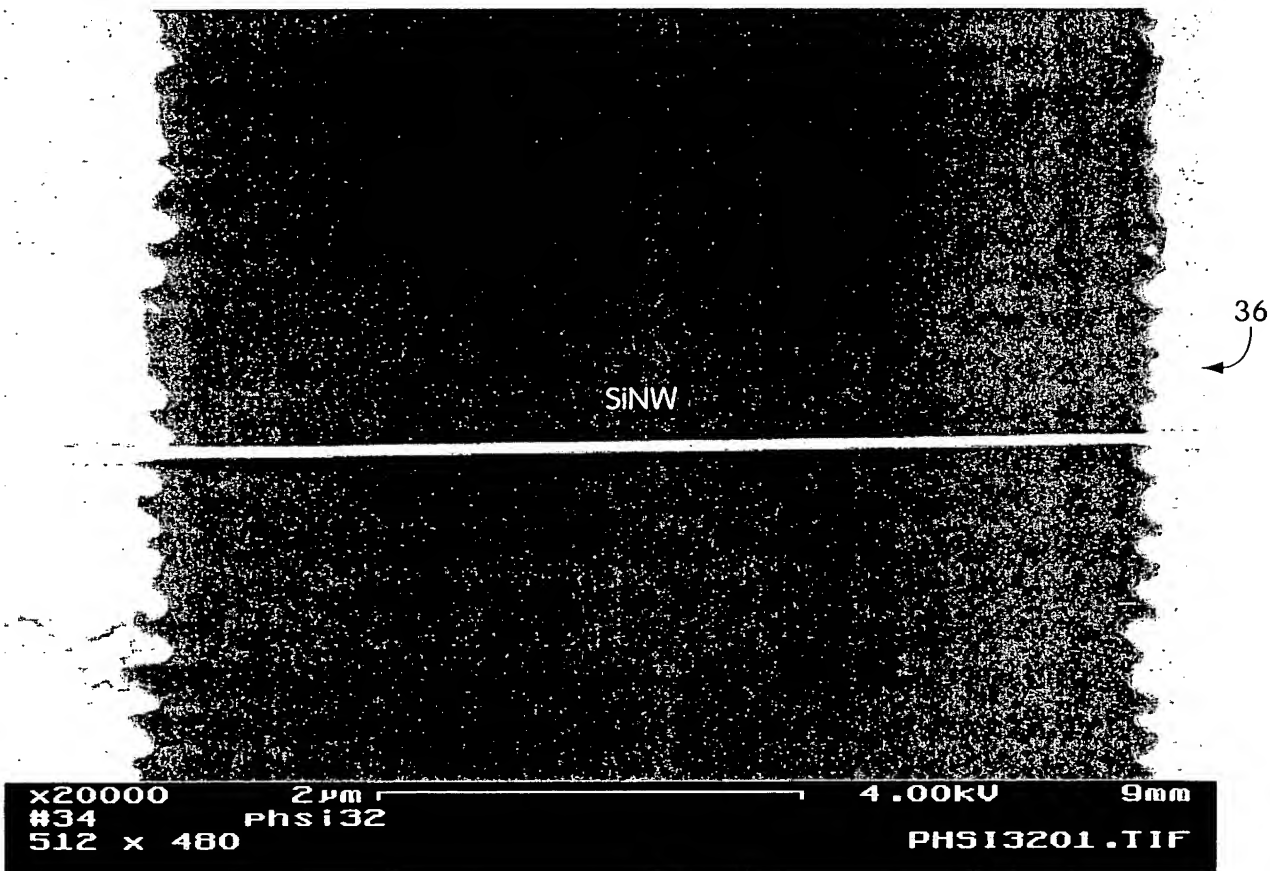


Fig. 3B

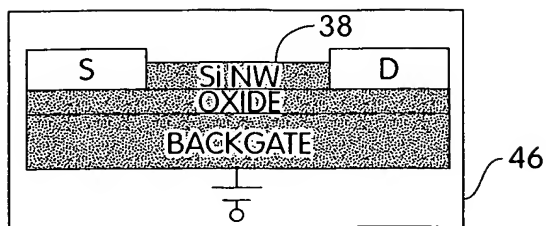


Fig. 4A

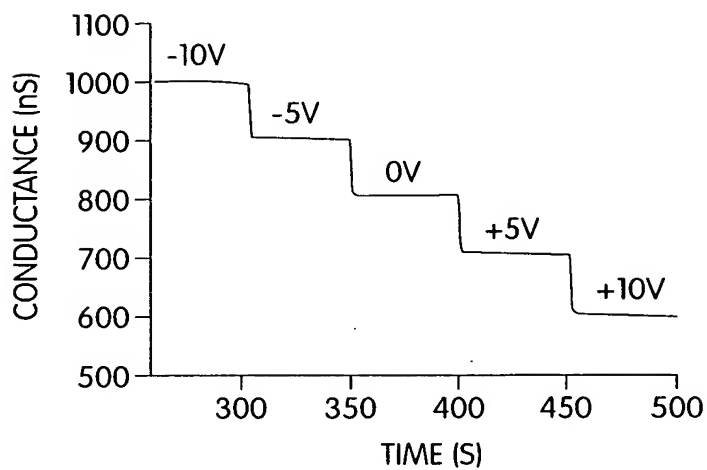


Fig. 4B

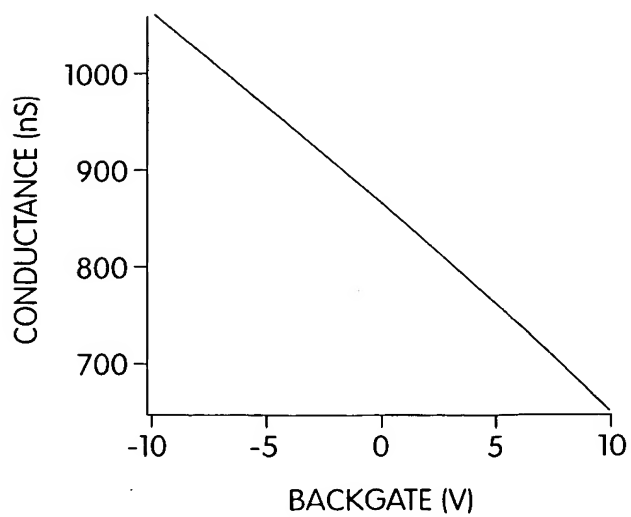


Fig. 4C

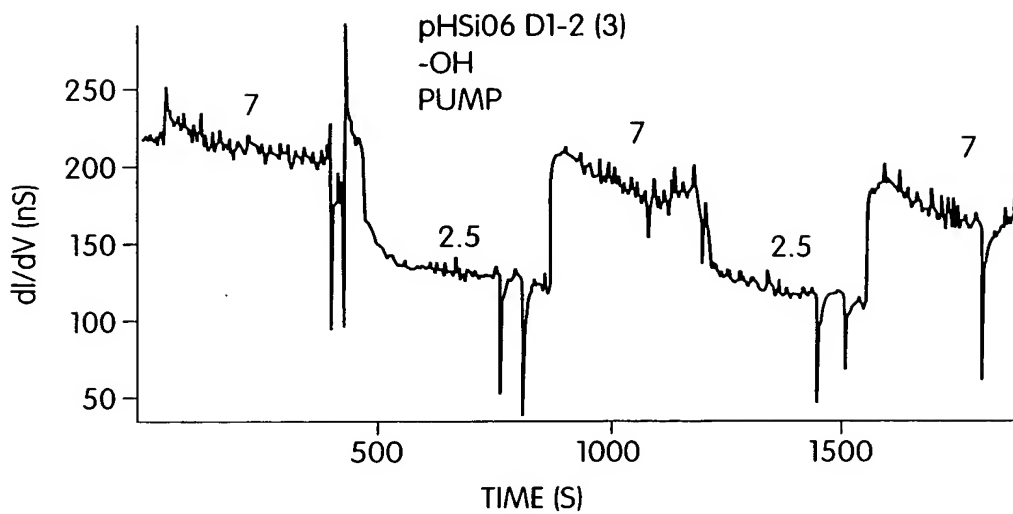


Fig. 5A

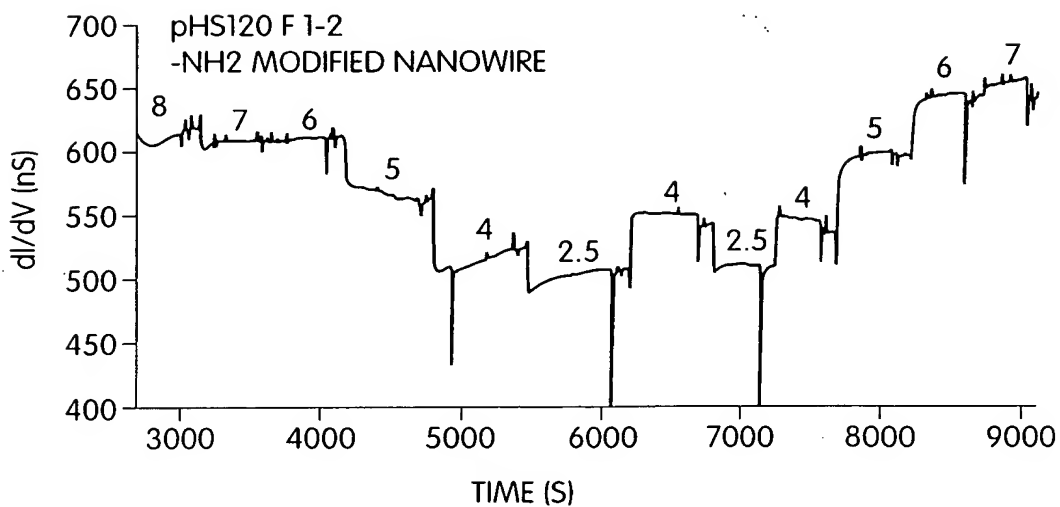


Fig. 5B

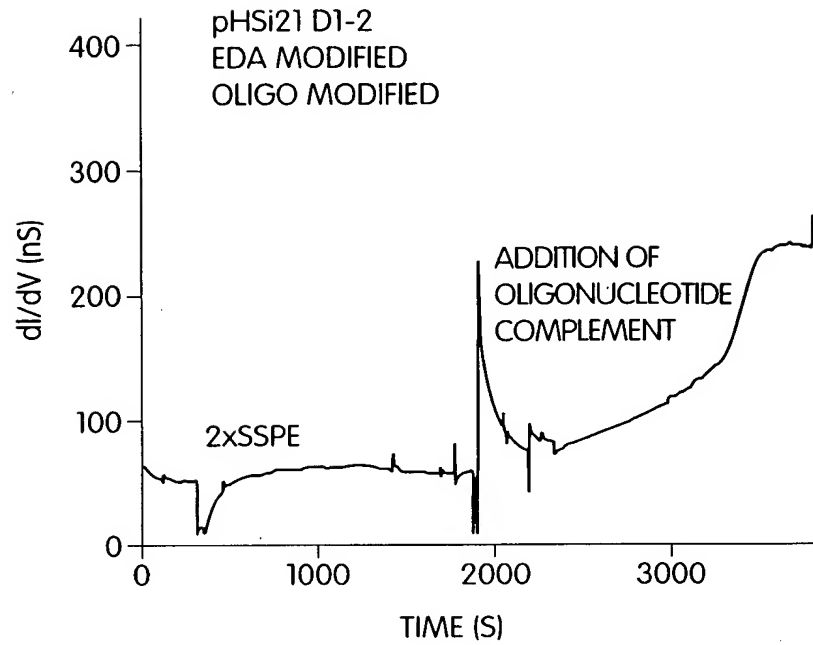
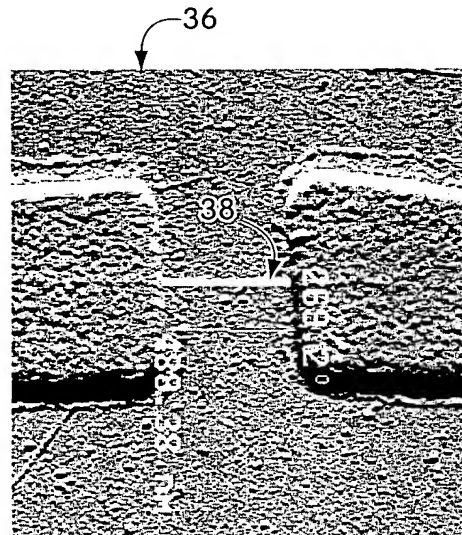


Fig. 6



500 nm

Fig. 7

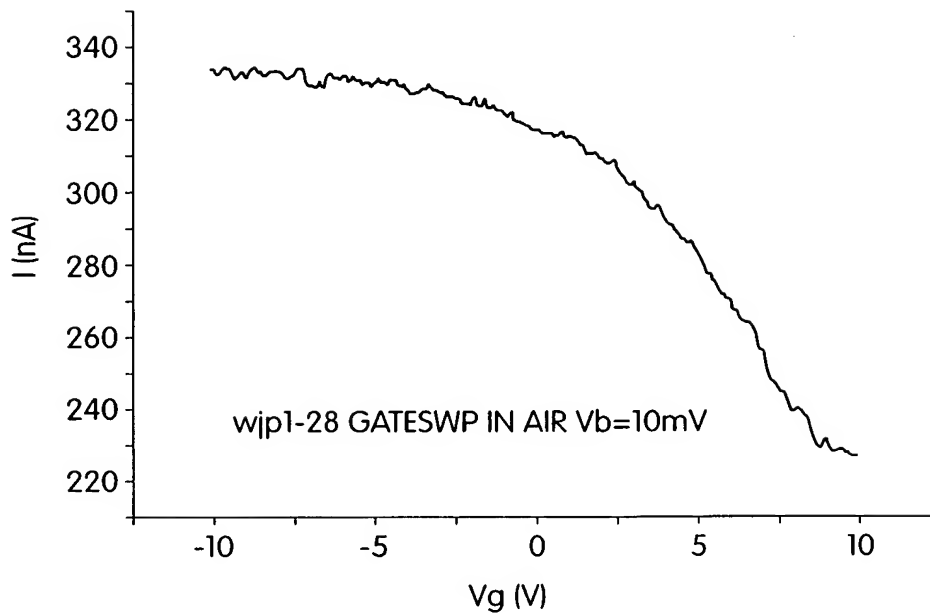


Fig. 8A

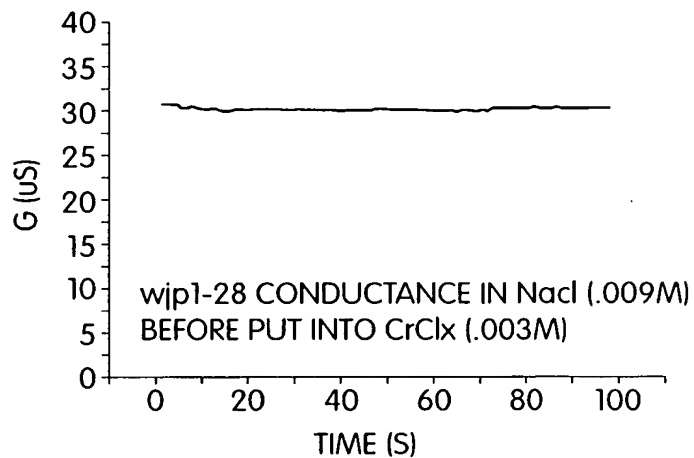


Fig. 8B

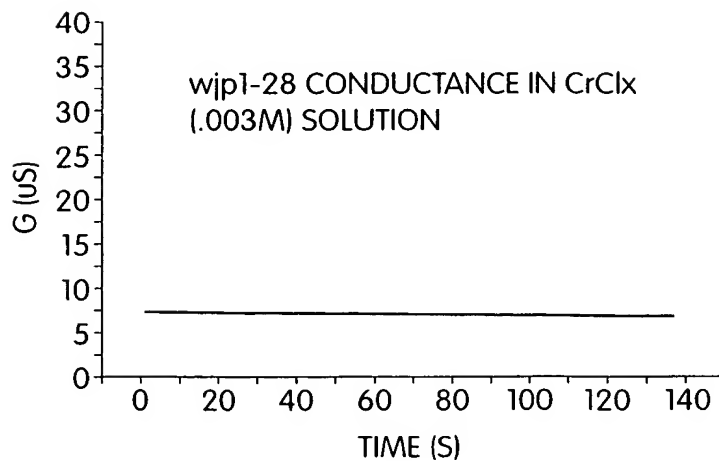


Fig. 8C

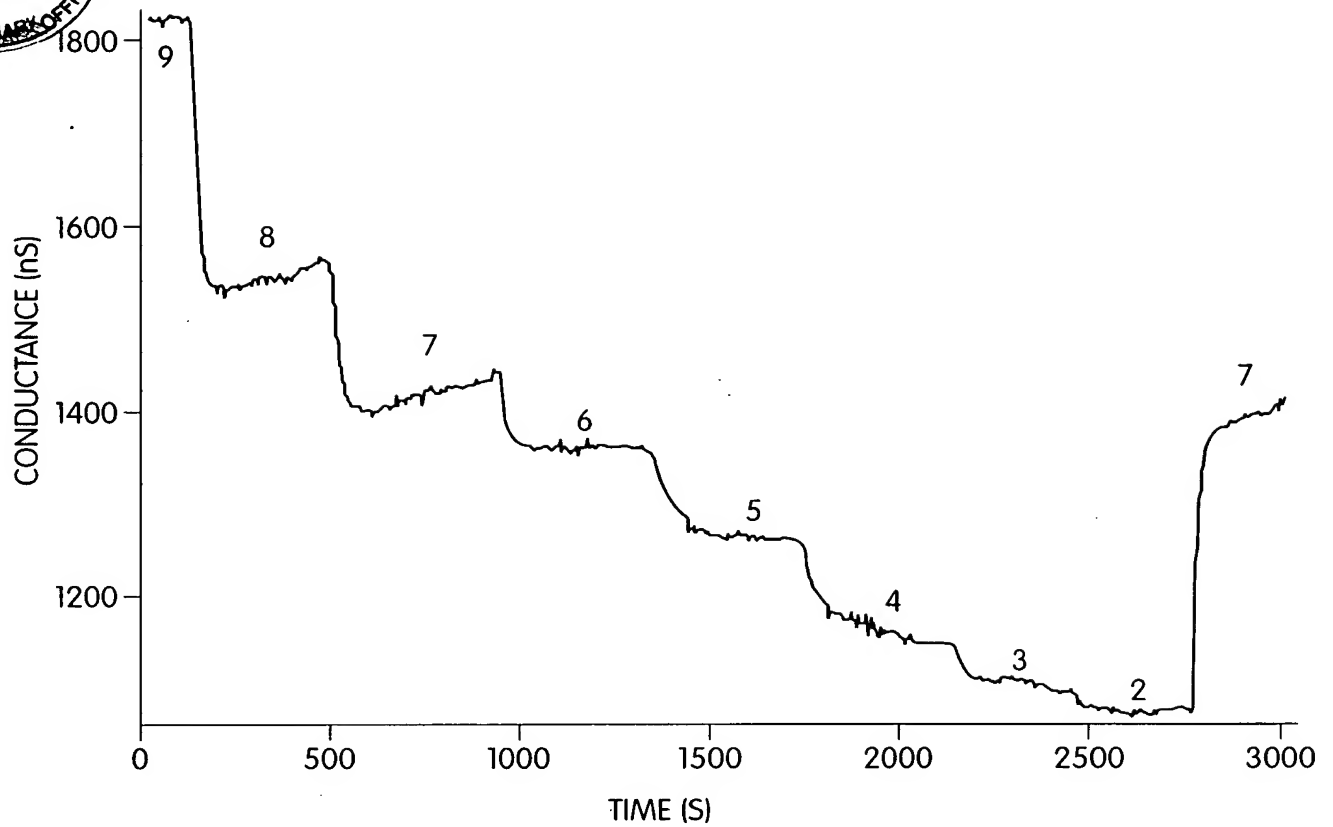


Fig. 9A

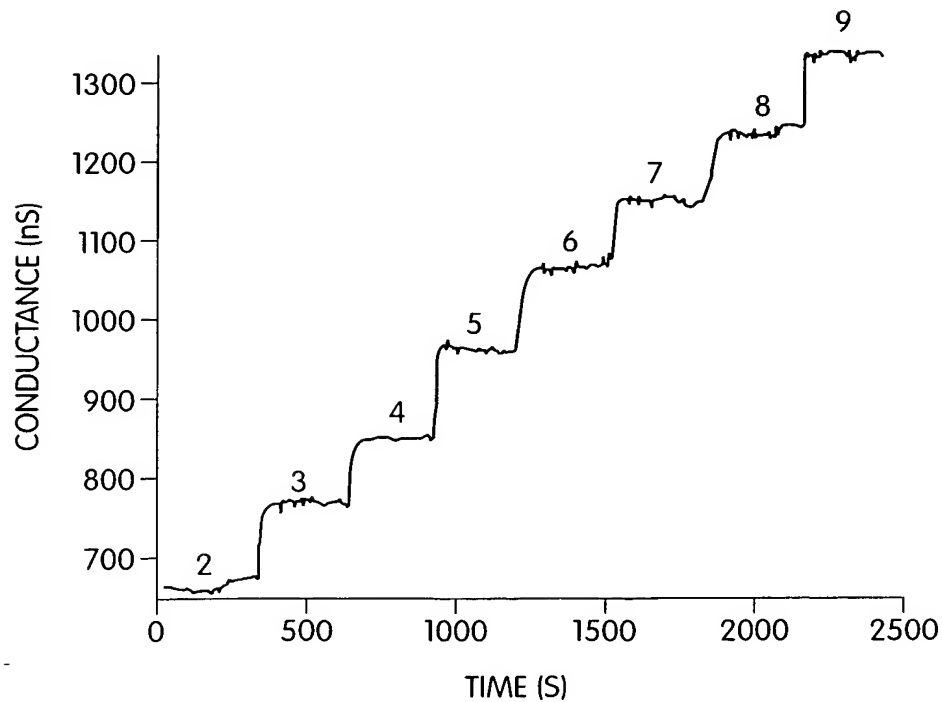


Fig. 9B

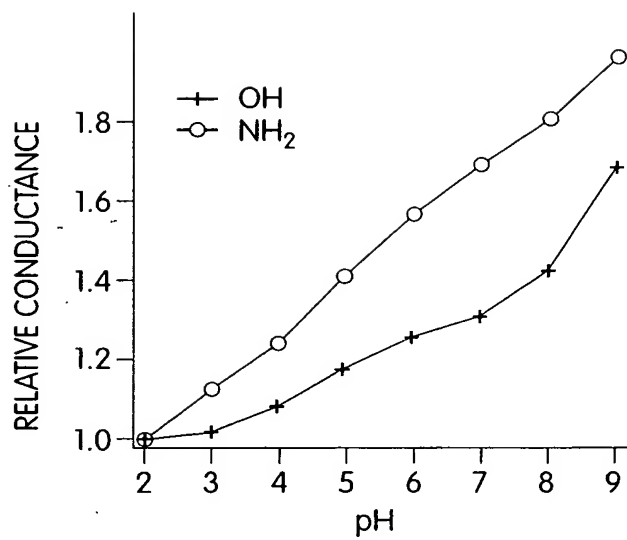


Fig. 9C

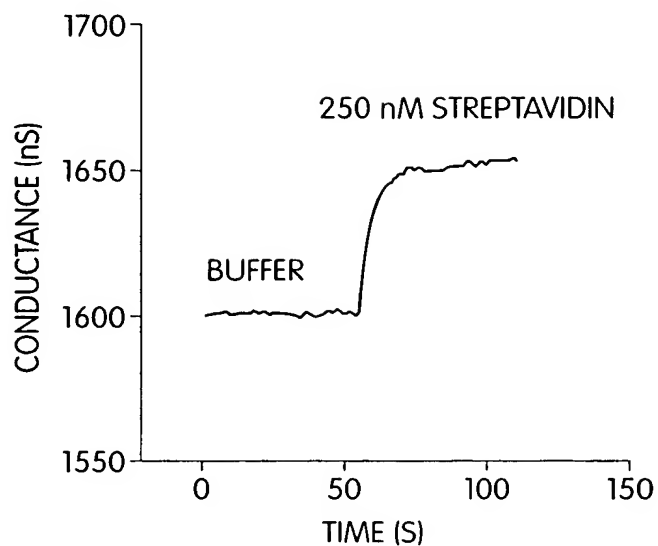


Fig. 10A

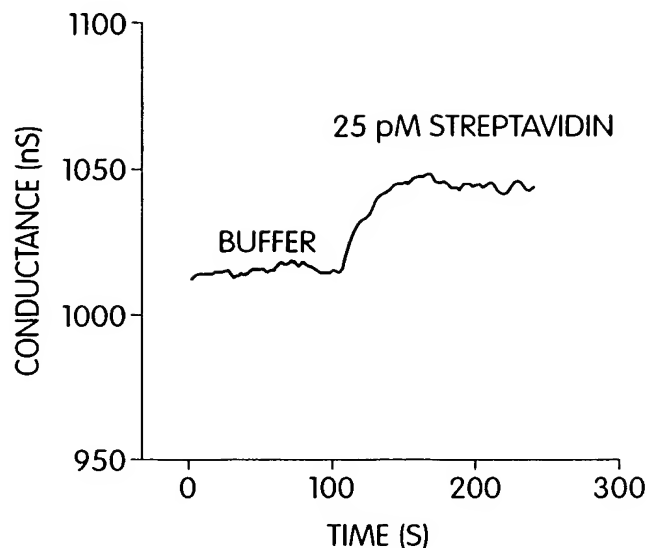


Fig. 10B

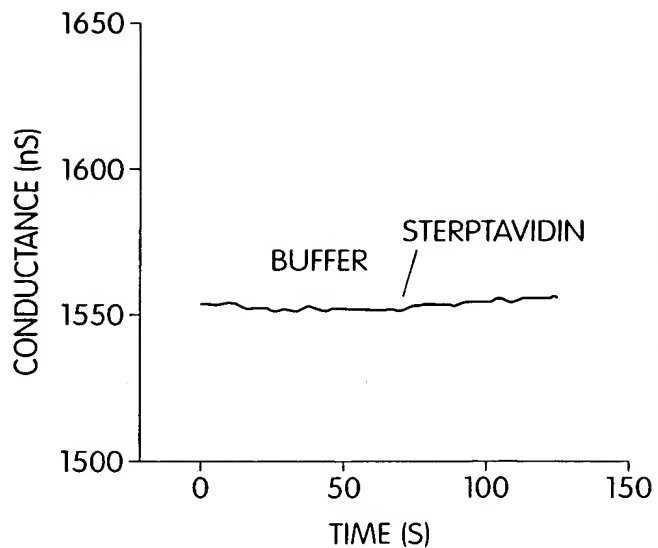


Fig. 10C

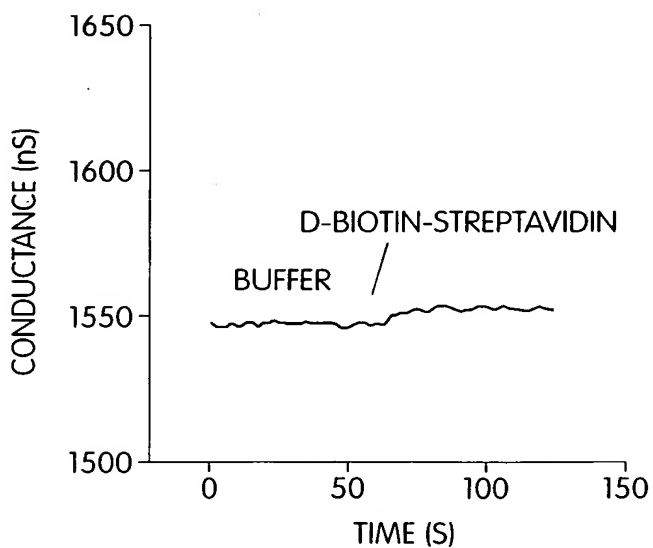


Fig. 10D

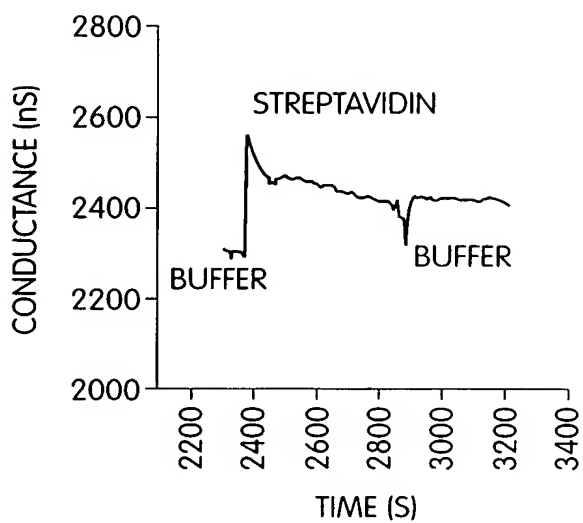


Fig. 10E

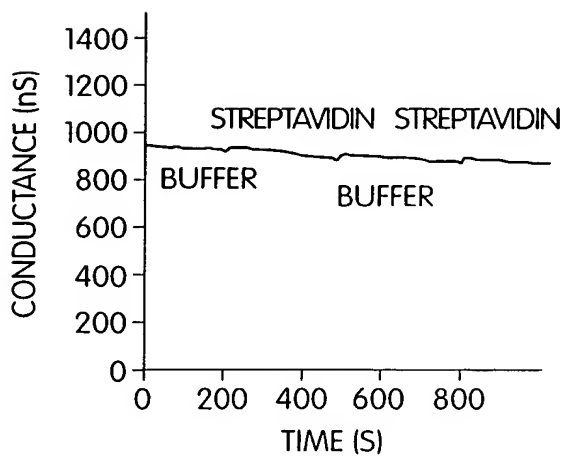


Fig. 10F

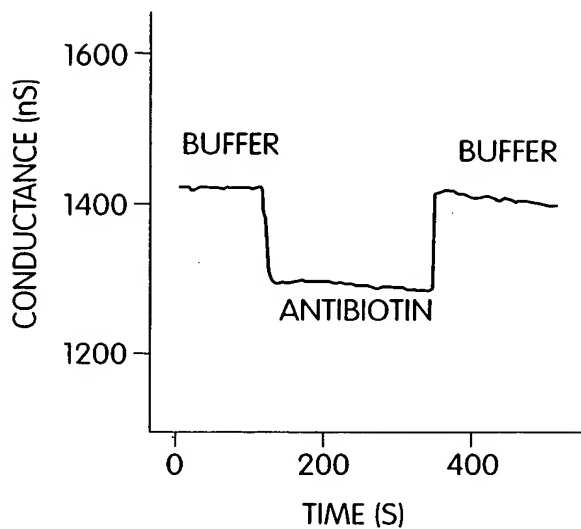


Fig. 11A

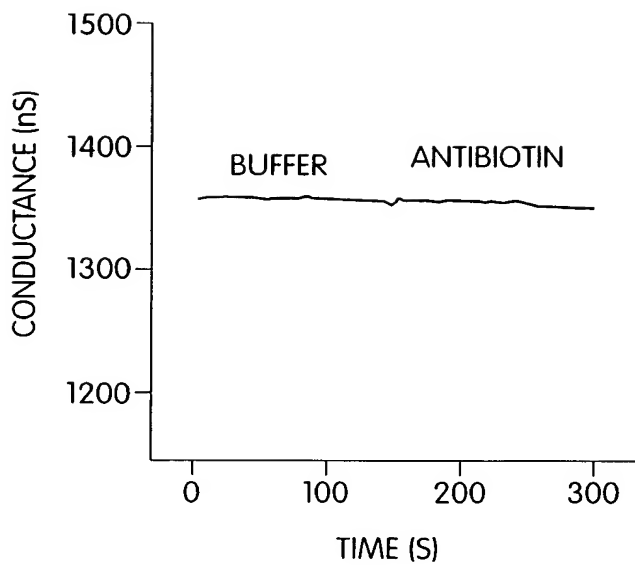


Fig. 11B

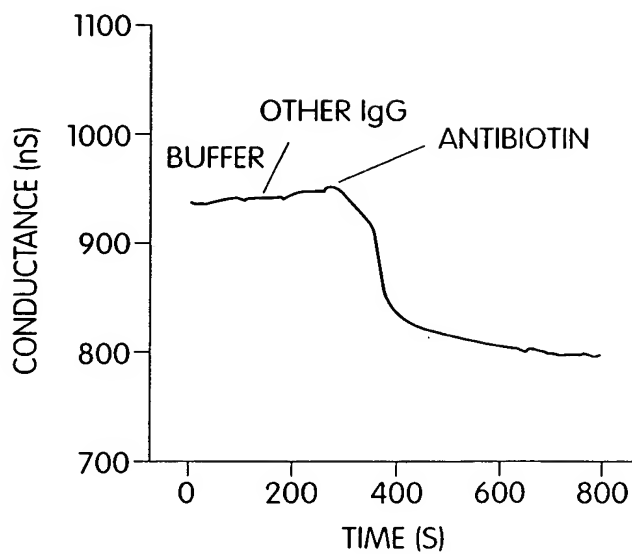
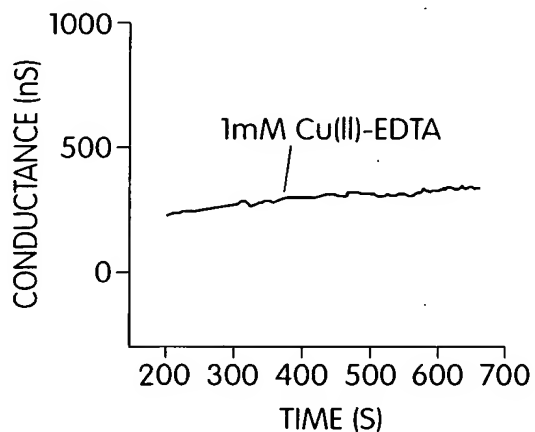
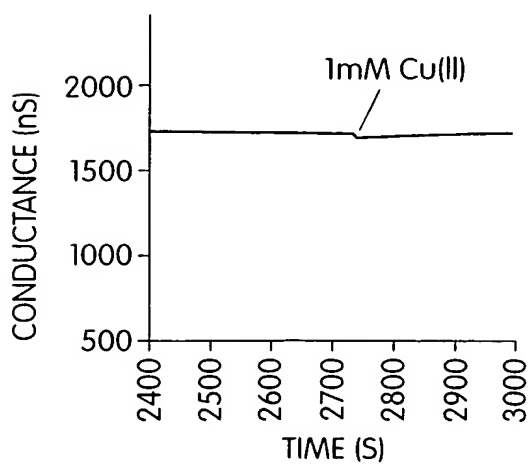
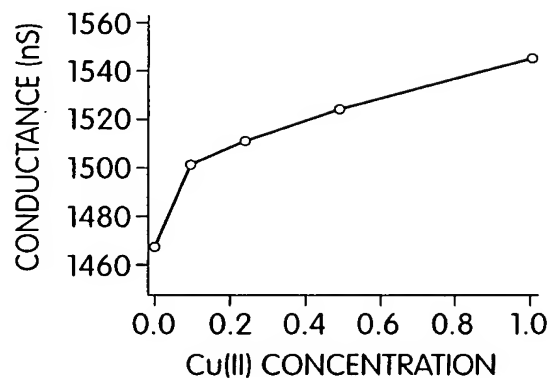
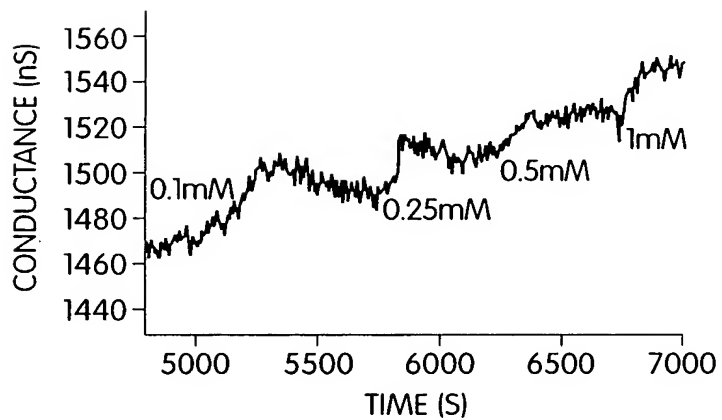
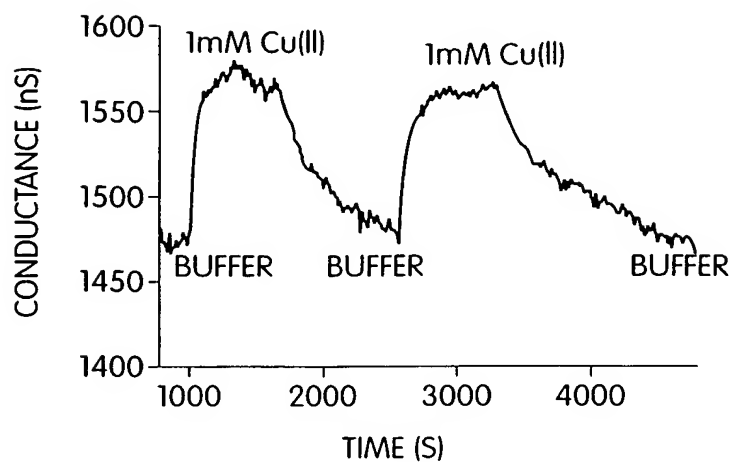


Fig. 11C



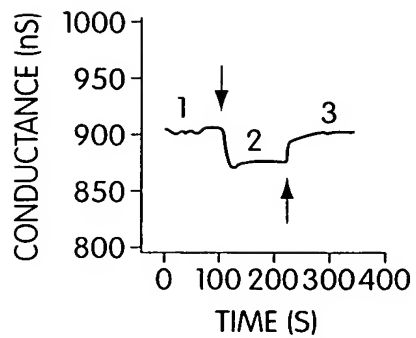


Fig. 13A

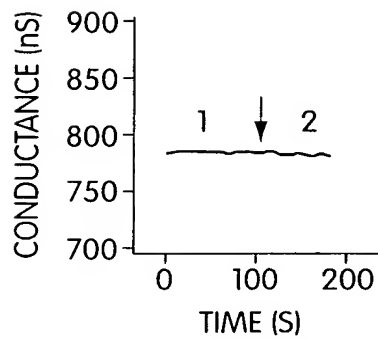


Fig. 13B

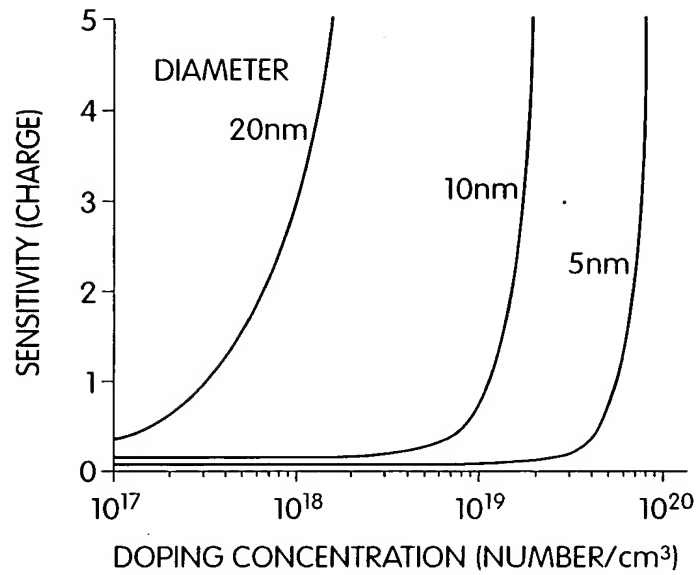


Fig. 14A

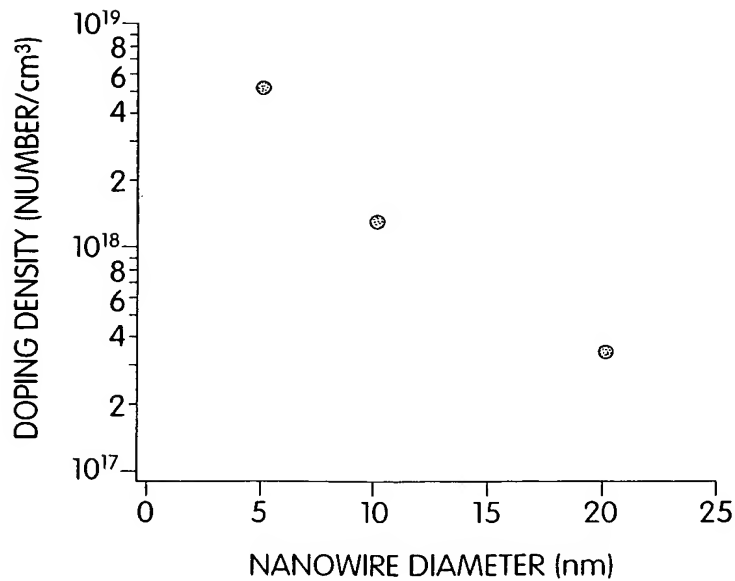


Fig. 14B

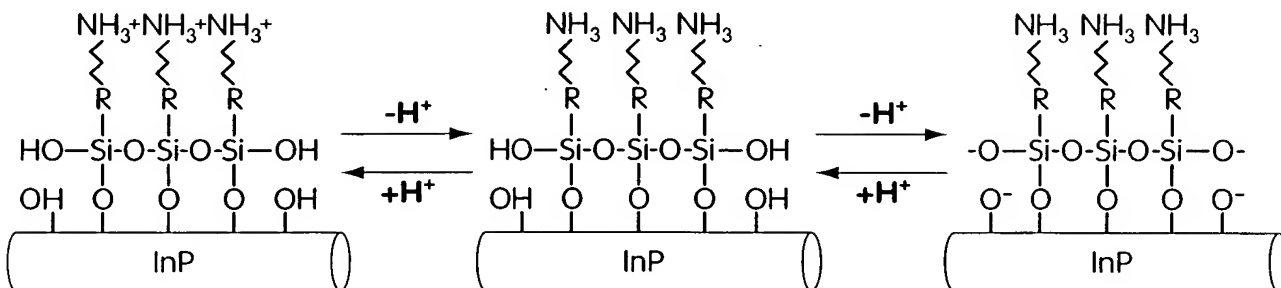


Fig. 15A

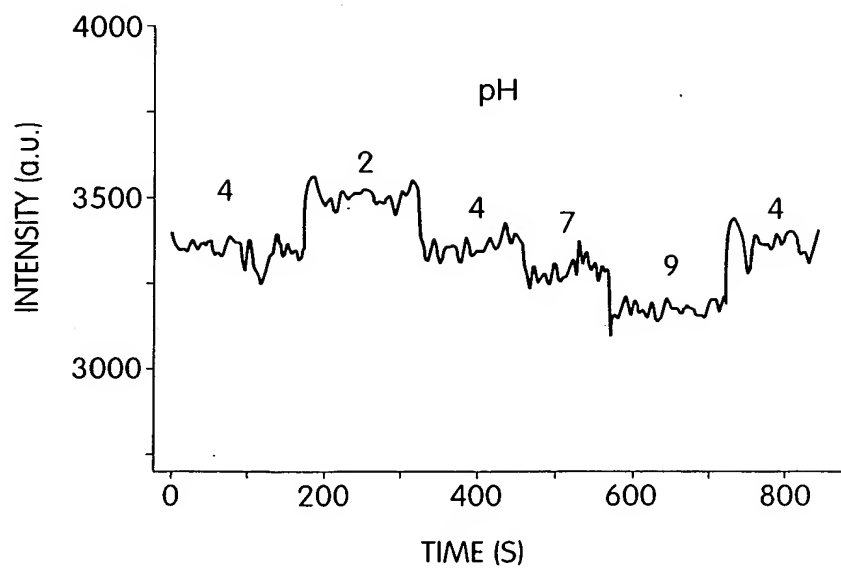


Fig. 15B

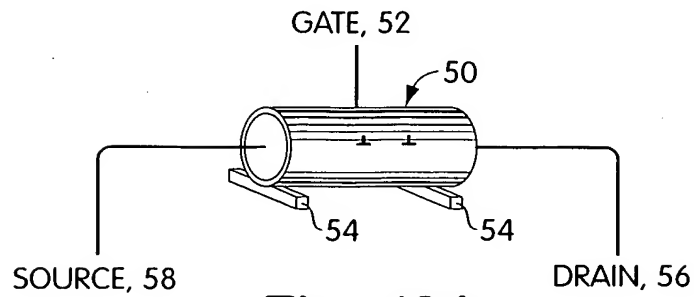


Fig. 16A

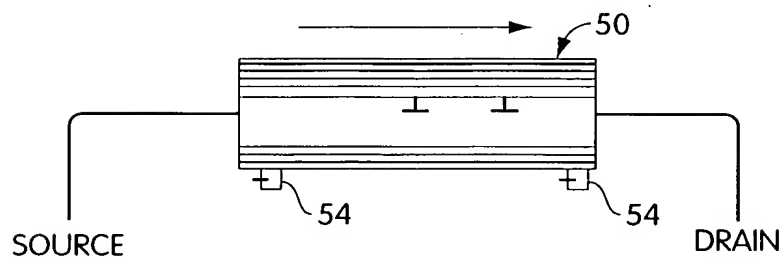


Fig. 16B

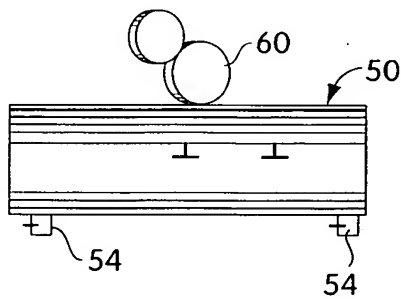


Fig. 16C

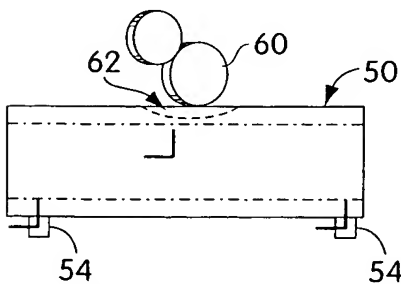


Fig. 16D